

論 說 報 告

第27卷第4號 昭和16年4月

中空圧縮材の挫屈に関する理論的研究 (3, 4)*

正會員 樂 田 周 平**

要旨 先に発表せる第 1, 2 編に於て求めた中空圧縮材に對する安定條件を諸種の組合せ圧縮材及び管材に就て計算し、次に中空圧縮材主として組合せ圧縮材の撓屈に及ぼす剪断力の影響を明らかにした。

目 次

3. 諸種の組合せ圧縮材及び管柱に對する
る安定條件の計算
 1. 緒言
 2. 組合せ四角柱に對する計算
 - (i) 一側面の方向に挫屈する場合
 - (ii) 對角線の方向に挫屈する場合
 3. 組合せ三角柱に對する計算
 - (i) 一側面の方向に挫屈する場合
 - (ii) 一側面に直角の方向に挫屈する
場合
 4. 管柱に對する計算
 5. 要約
 4. 組合せ圧縮材の挫屈に及ぼす剪斷力

3. 諸種の組合せ圧縮材及び管柱に対する安定條件の計算

1. 緒 言

著者は第2編に於て中空圧縮材の撓み曲線に対する微分方程式を導いて次の如き式を得た。

但し E : 材料の弾性係数

I_c : 摻屈しない前の歓縮材の断面の慣性モーメント

P : 中心軸荷重

β^2 : 中空圧縮材の内部的機構を示す特性的數値

撓屈の限界點附近の解を求むる事とし $\frac{P}{EI_0} = \frac{1}{\alpha^2}$ と置き換へれば次の式より出發して良い事になる。

$$\frac{d^2y}{dz^2} + \frac{y}{\sigma^2} \left(1 + \frac{\beta^2 y^2}{\sigma^4} \right) = 0 \quad \dots \dots \dots \quad (34)$$

α と β とは共に長さのディメンションを有する。

此の微分方程式を解けば中空圧縮材の挫屈を不安定ならしめざる條件として、換言すれば中空圧縮材が不安定ならしめる爲の條件とし、工次の條件が導かれる。

$$\frac{\beta^2}{\alpha^2} \leq \frac{2}{3}$$

* (1, 2) は第 27 卷第 3 號に掲載された

** 內務技師 工學士 內務省土木試驗所

$$\alpha^2 \text{ に対しては } \frac{1}{\alpha^2} = \frac{P}{E L} = \frac{\pi^2}{L^2} \quad (L: \text{ 圧縮材の長さ})$$

と置いて良い。結局中室壓縮材の安定、不安定の問題はその壓縮材に固有な數値である β^2 を求むる事に歸する。

β^2 を求むるには其の圧縮材を曲げて見てその断面の慣性モーメントの減少量を出せば良い。即ち曲げられる前には慣性モーメントが I_0 であったものが曲率 $1/R$ に曲げられて後に I となつたとすれば β^2 は次式で與へられる。

実際に計算してみると常に K^2 は消え、 β^2 は曲げには無関係に中空圧縮材の内部的機構の脆弱性を示す特徴的常数として求められる。

本篇に於ては 5 種の骨組型式の組合せ四角柱、組合せ三角柱及び管柱に對して夫々の β^2 を計算しその安定條件を具體的に計算した。 図-14.

圖-14

2. 組合せ四角柱に対する計算

断面が正四邊形で全く對稱的に部材を配置して作つた組合せ四角柱の挫屈を考へるのに先づ大きく分けて 2 つの場合が考へられる。即ち図-14 に於て N-N' を中軸面とする様な挫屈と N'-N' を中軸面とする様な挫屈とである。四角柱の挫屈に於ては此の 2 つの方向の挫屈が兩極端であつて其の他の場合は此の 2 つの場合の中間にあるものと考へる事が出来る。

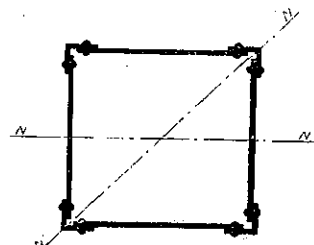
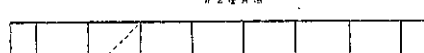


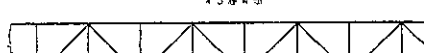
圖-14 の如き正四角柱に於ては何れの方向に對してもその慣性モーメントは一定不變であるが撓屈は對角線の方向に最も起り易い。此れは常識的に直ちに豫想せられるが計算に於ても又明瞭に現れて来る。

然しながら從來一般に取扱はれてゐるのは N-N を中軸面とする様な挫屈(此れは四角柱としては最も挫屈し難い場合ではあるが)であるから先づ此の場合を取扱ふ事とする。橋梁に於ける壓縮材の如く四邊形の相對する邊が溝型鋼或は之に類似の合成部材である様な場合には N-N を中軸面とする挫屈が最も重要となる。然しながら其の場合に於ても断面が図-15 の如く變形する挫屈も起り得る。此れは綾片の挫屈に起因する事であつて第5篇に於て論ずるであらう。

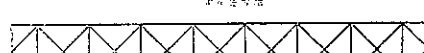
圖-16



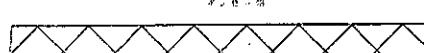
— 1 —



— 3 —



— 4 —



— 1 —

れるであらう。骨組の静定、不静定は計算には大して問題とはならない。

(i) 一側面の方向に挫屈する場合

(a) 第1種骨組(ワーレン型骨組)

第1種骨組のその骨組面の方向の挫屈に対する安定計算は既に第2編に於て詳細に述べたのであるが β^2 を簡単に機械的に計算する立場から此處に整理し直して見る。

第 1 種骨組の組合せ四角柱が曲率 $\frac{1}{R}$ に曲げられた場合各格點には弦材に直角に $\frac{M E_{1f}}{2h^2}$ なる力が作用する事は既に述べた。茲に A_f は弦材の断面積, h は骨組の幅, l は綾片の格間長である。綾片は之等の圧縮力を支へなければならない。

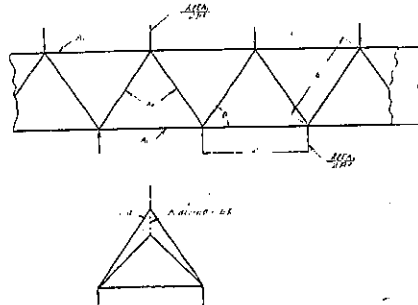
圖-17.

1 本の綾片にかかる圧縮力を P_a とすれば

$$2P_d \sin\theta = \frac{h^l E A_f}{2R^2}$$

$$\therefore P_d = \frac{h^2 E A_f}{4 R^2} \cosec \theta = \frac{h^2 E A_f \cos \theta}{2 R^2 \sin^2 \theta}$$

綾片の長さを d とし P_d なる圧縮力を受けての縮みを Δl とすれば



$$Ad = \frac{Pa}{E A_d} d = \frac{A_f}{A_d} \cdot \frac{h^2 d \cos \theta}{2 h^2 \sin^2 \theta} = \frac{A_f}{A_d} \cdot \frac{h^3 \cos \theta}{2 R^2 \sin^3 \theta}$$

綾片の縮みが骨組の幅に如何に影響を及ぼすかは柱の中立軸の長さは曲げの前後を通じて不變である事を考へれば $4d \times \text{cosec } \theta$ で效いて来る事が解る(図-17 下圖)。即ち骨組の幅の減少を $4h$ で表はせば

$$\Delta h = \Delta d \cosec \theta = \frac{A_f}{A_d} \cdot \frac{h^3 \cos \theta}{2R^2 \sin^4 \theta}$$

β^2 は (46) 式より

$$\beta^2 = \frac{I_0 - I}{I_0} R^2 = 2 \frac{A h}{h} R^2 = \frac{A_f}{A_a} \cdot \frac{h^2 \cos \theta}{\sin^4 \theta}$$

これを(41)の条件式に代入し $\frac{1}{\alpha^2} = \frac{\pi^2}{L^2}$ なる関係を用ふれば

$$\frac{f^2}{\alpha^2} = \frac{Ar}{Ad} \cdot \frac{\pi^2 h^2 \cos \theta}{L^2 \sin^4 \theta} \leq \frac{2}{3}$$

$$\frac{Aa}{A_f} \geq \frac{3\pi^2 h^2 \cos \theta}{2L^2 \sin^4 \theta}$$

$$\frac{Aa}{4\tau} \geq \frac{6\pi^2 \cos \theta}{s^2 \sin^4 \theta} \quad \dots \dots \dots \quad (47)$$

此れが第 1 種骨組の綾片に対する求むる條件式である。 $\frac{\cos \theta}{\sin^4 \theta}$ の値は $\theta = 60^\circ$ に於て $\frac{8}{9} = 1$ である。従つて $\theta = 60^\circ$ に於て此の條件式の規定する具體的な條件を得る事が出来るであらう。

第 2 節に於て此の型式の骨組の曲げを解析して得た結果に依れば

$$\Delta h = \frac{A_f}{4} \cdot \frac{h^8 \cos \theta}{2 B \sin^4 \theta} - \frac{h^8 \cos^2 \theta}{8 B \sin^2 \theta}$$

であるから省略して仕舞へば本節の結果と同様になる。

以下の量組に對し、本節と同様な考へ方で機械的に計算して行く事とする。

(b) 第 2 種骨組

第 2 種骨組はラーメンシャーフ (Rahmen Stab) に相當するものであつて、兩弦材間の支材は綴片と呼ぶ事

柱が曲率 $\frac{1}{R}$ に曲げられた時に格點に加へられる圧縮力は前と同様に $\frac{hIEA_f}{2R^2}$ であつて綾片 h の受けける圧縮力

P_4 は此れに等しい。即ち

$$P_h = \frac{\hbar l E_A f}{2 R^2}$$

$$\therefore Ah = \frac{A_f}{A_h} \cdot \frac{h^2 l}{2R^2} = \frac{A_f}{A_h} \cdot \frac{h^2 \cos \theta}{2R^2 \sin \theta}$$

假し

$$\frac{h}{l} = \frac{\sin \theta}{\cos \theta}$$

従つて

$$\beta^2 = 2 \frac{A h}{h} R^2 = \frac{A r}{A d} \cdot \frac{h^2 \cos \theta}{\sin \theta}$$

$$\frac{\beta^3}{\alpha^2} = \frac{A_f}{A_h} \cdot \frac{\pi^2 h^2 \cos \theta}{L^3 \sin \theta} \leq \frac{2}{3}$$

$$\therefore \frac{A_h}{A_f} \geq \frac{3\pi^2 h^2 \cos \theta}{2L^2 \sin \theta} = \frac{6\pi^2 \cos \theta}{s^2 \sin \theta}$$

但し s は柱の細長比である。

此處で第1種骨組と第2種骨組を比較して見れば次の如くである。

第1種及び第2種の骨組を有する組合せ圧縮材が同一の安定度に在る爲に要する綾片の總量を比較すれば第2種骨組に對しては

$$A_d \times L \sec \theta \geq \frac{6\pi^2}{g^2 \sin^4 \theta} A_f L,$$

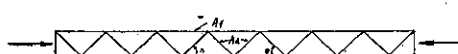
第 2 種骨組に對しても

$$A_h \times L \tan \theta \geq \frac{6\pi^2}{s^2} A_f L$$

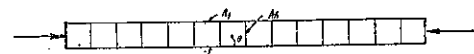
となる。従つて 90° を除く如何なる θ の値に對しても第1種骨組の方が第2種骨組より餘計の材料を要する。

表-3. $\frac{A_d}{A_f} = \frac{6\pi^2 \cos \theta}{s^2 \sin^4 \theta}$ に於ける $\frac{A_f}{A_d}$ の數表

表-4. $\frac{A_h}{A_f} = \frac{6\pi^2 \cos \theta}{s^2 \sin \theta}$ に於ける $\frac{A_f}{A_a}$ の數表



| 細長比 <i>s</i> | $\theta = 40^\circ$ | 45° | 50° | 55° | 60° | 65° |
|-----------------|---------------------|------------|------------|------------|------------|------------|
| 10 | 0.376 | 0.597 | 0.904 | 1.32 | 1.90 | 2.70 |
| 15 | 0.847 | 1.34 | 2.04 | 2.98 | 4.27 | 6.06 |
| 20 | 1.54 | 2.39 | 3.70 | 5.30 | 7.60 | 10.8 |
| 25 | 2.35 | 3.73 | 5.65 | 8.38 | 11.9 | 16.8 |
| 30 | 3.39 | 5.87 | 8.14 | 11.9 | 17.1 | 24.3 |
| 40 | 6.02 | 9.55 | 14.47 | 21.2 | 30.4 | 43.1 |
| 50 | 9.41 | 14.9 | 22.6 | 33.1 | 47.5 | 67.4 |
| 60 | 13.5 | 21.5 | 32.6 | 47.7 | 68.4 | 97.0 |
| 70 | 18.4 | 29.2 | 44.5 | 64.9 | 93.1 | 132 |
| 80 | 24.1 | 38.2 | 57.9 | 84.8 | 122 | 172 |
| 90 | 30.5 | 48.3 | 73.3 | 107 | 154 | 218 |
| 100 | 37.6 | 59.7 | 90.4 | 133 | 190 | 270 |
| 110 | 45.5 | 72.2 | 109 | 160 | 230 | 326 |
| 120 | 54.2 | 86.0 | 130 | 191 | 274 | 388 |
| 130 | 63.6 | 100 | 153 | 224 | 321 | 456 |
| 140 | 73.7 | 117 | 177 | 260 | 372 | 523 |
| 150 | 84.7 | 134 | 204 | 298 | 427 | 606 |



| 細長比 <i>s</i> | $\theta = 40^\circ$ | 45° | 50° | 55° | 60° | 65° |
|-----------------|---------------------|------------|------------|------------|------------|------------|
| 10 | 1.42 | 1.69 | 2.01 | 2.41 | 2.92 | 3.62 |
| 15 | 3.19 | 3.80 | 4.53 | 5.42 | 6.58 | 8.15 |
| 20 | 5.67 | 6.75 | 8.05 | 9.64 | 11.7 | 14.5 |
| 25 | 8.85 | 10.6 | 12.6 | 15.1 | 18.3 | 22.6 |
| 30 | 12.7 | 15.2 | 18.1 | 21.7 | 26.3 | 32.6 |
| 40 | 22.7 | 27.0 | 32.2 | 38.6 | 46.8 | 57.9 |
| 50 | 35.4 | 42.2 | 50.3 | 60.3 | 73.1 | 90.5 |
| 60 | 51.0 | 60.8 | 72.4 | 88.8 | 105 | 130 |
| 70 | 69.4 | 82.7 | 98.6 | 118 | 143 | 177 |
| 80 | 90.9 | 108 | 129 | 154 | 187 | 232 |
| 90 | 115 | 137 | 163 | 195 | 237 | 293 |
| 100 | 142 | 169 | 201 | 241 | 292 | 362 |
| 110 | 172 | 204 | 243 | 292 | 354 | 438 |
| 120 | 204 | 243 | 290 | 347 | 431 | 521 |
| 130 | 239 | 285 | 340 | 407 | 494 | 612 |
| 140 | 278 | 331 | 394 | 473 | 573 | 710 |
| 150 | 323 | 380 | 453 | 543 | 658 | 815 |

以上の結果のみより判断すれば第2種骨組の方が有利の如く見えるが、此れは中空圧縮材の安定度に對してであつて、限界荷重の點より見れば第4篇に於て計算する如く第2種骨組は第1種骨組に劣るものである。

(47) 式、(48) 式に對する數表は夫々表-3、表-4 に示す如くであつて此れに對するグラフは第 2 篇に於ける圖-11、圖-12 となる。

(c) 第3種骨組

第3種骨組に於ては荷重の分配が問題となるので多少複雑になる。図-19に示される如く各格點には P_1 と P_2 がかかるものとすれば次の関係式が成立する。

$$P_1 + P_2 = \frac{E A_{fhl}}{2 E^2}$$

$$P_0 = P_{\mathcal{H}}$$

$$P_1 = P_h + 2P_d \sin \theta$$

綾片 d と綾片 h の縮みが相關聯してゐる條件より

$$\frac{Pad}{EA_d} \cosec \theta = \frac{Phh}{EA_h}$$

之等の條件より P_h を求むれば

$$P_h = \frac{EA_f + hh^2 \cos \theta}{2(A_h + A_d \sin^2 \theta) \sin \theta} \cdot \frac{1}{R^2}$$

$$\Delta h = \frac{P_{uh}}{EA_h} = \frac{Agh^3 \cos \theta}{2(A_h + A \sin^3 \theta) \sin \theta} \cdot \frac{1}{R^2}$$

$$\beta^2 = 2 \frac{A h}{h} R^2 = \frac{A h^2 \cos \theta}{(A h + A d \sin^3 \theta) \sin \theta}$$

(41) の条件式は次の如くなる

$$\frac{\pi^2 A f h^2 \cos \theta}{L^2 (A_h + A_d \sin^3 \theta) \sin \theta} \leq \frac{2}{3}$$

三

$$\frac{1}{A_f}(A_h + A_a \sin^2 \theta) \geq \frac{3\pi^2 h^2 \cos \theta}{2L^2 \sin \theta}$$

(49) 式に於て $A_h=0$ と置けば第 1 種骨組となり (47) 式と一致する。 $A_d=0$ と置けば第 2 種骨組となり (48) 式と一致する。

(d) 第 4 種骨組

此の場合には綾片に作用する歯縮力 P_d 、継片に作用する歯縮力 P_h の間には次の関係が成立する。

$$P_h + 2P_d \sin \theta = \frac{F A_{fhl}}{2R^2}$$

$$\frac{P_{ad}}{EA_d} \cosec \theta = \frac{Ph}{EA_h}$$

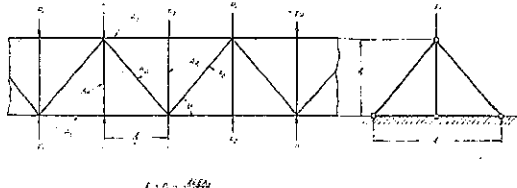
$$P_h = \frac{EA_{TA} \cdot h^2 \cos \theta}{2(A_h + 2A_a \sin^2 \theta) \sin \theta} \cdot \frac{1}{R^2}$$

$$\frac{A_h}{h} = \frac{P_h}{EA_h} = \frac{A_j h^2 \cos \theta}{2(A_h + 2A_d \sin^2 \theta) \sin \theta} \cdot \frac{1}{R^2}$$

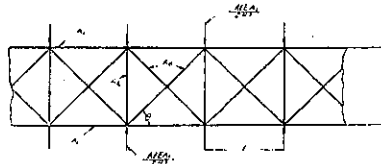
$$\therefore \beta^2 = 2 \frac{A h}{h} R^2 = \frac{A h^2 \cos \theta}{(A) + 2 A \sin \theta \sin \theta}$$

(41) の条件式は次の如く表はされる。

圖-19



-20



$$\frac{\pi^2 A_j h^2 \cos \theta}{L^2(A_h + 2A_s \sin^3 \theta) \sin \theta} \leq \frac{2}{3}$$

或は

$$\frac{1}{A_f}(A_h + 2A_d \sin^2 \theta) \geq \frac{6\tau^2 \cos \theta}{s^2 \sin \theta} \quad \dots \dots \dots \quad (50)$$

これが第4種骨組に対する條件式である。 $A_d=0$ と置けば (48) 式と完全に一致する。

(e) 第 5 種骨組

此れは複ワーレン型であつて改めて計算する迄もなく第4種骨組に於て $A_d=0$ と置けば求められる。

即ち

$$\frac{A_d}{A_f} \geq \frac{3\pi^2 \cos \theta}{s^2 \sin^4 \theta} \quad \dots \dots \dots \quad (51)$$

此れは第 1 種骨組即ちワーレン型骨組の場合に於て A_{it} を $2A_{it}$ に置き換へたものに等しい。従つて表-3 或は図-11 を利用する事が出来る。

以上は通常電柱等に見られる組合せ四角柱に就ての計算であつたが橋梁等に用ひられる組合せ壓縮材の場合には A_f を弦材の断面積の半分とすれば (47)～(51) の各式は夫々 1 本の綾片の断面を決定する條件式となる。

(ii) 対角線の方向に挫屈する場合

断面が正四邊形をなし部材配置が完全に對稱的である様な組合せ 四角柱に於ては (i) 節に於て假定した一側面の方向の挫屈よりは、對角線の方向の挫屈の方が遙かに 可能性が多い。此れは常識的にも直ちに考へられる事であるが實際に四角柱の破壊状態を観察しても結論される。

限界荷重としては第4篇に於て計算される如く何れの方向に挫屈する場合にも同一であるが、その安定度は對角線の方向に於て著しく低い爲にかかる結果となるのである。中空圧縮材に於ては限界荷重の他に、挫屈した状態の安定、不安定、換言すれば壓縮材の安定度の問題が非常に重大である事は本節の計算に於て特に明瞭に現はれる。

対角線の方向に對して安定度の低い原因是、此の方向の挫屈に對する綾片又は綾片の抵抗は其等の曲げ剛さに依存するものであるからである。

以下の計算に於て示される如く此の方向の挫屈に對して(41)の條件式を適用すると綾片又は綱片に對して實際には取り得ない様な過重な曲げ剛さが要求される。即ち四角柱は對角線の方向の挫屈に對しては其れ程安定度に缺けてあるのである。

圖-22

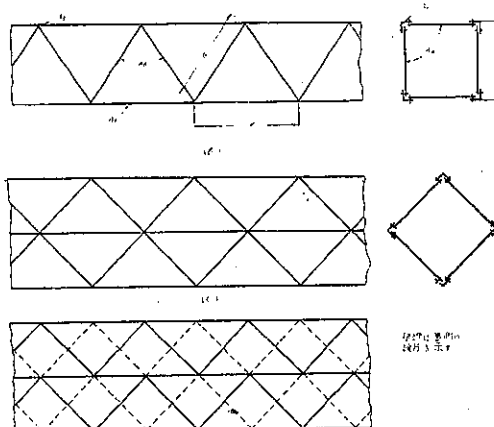
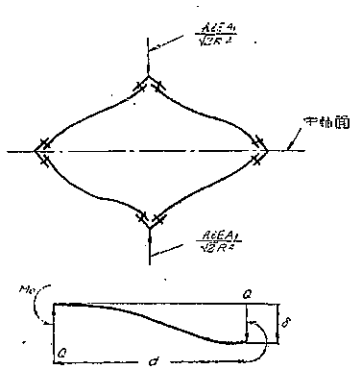


圖-23



(a) 第 1 種骨組

先づ第Ⅰ種骨組を取つて考へるに、柱が曲げられた場合に弦材が中軸面に向つて押される事は前と同様であり之に抵抗せんとする力は綾片又は縁片の曲げ剛さに關係して来る。骨組の平面で曲げられる時には綾片は壓縮力に對して抵抗すれば良かつたのであるが今度は充分な曲げ剛さが要求される事になつた。

即ち両端固定の綾片又は綾片が図-23 の如く δ だけ變位せしめられた時に生ずる反力 Q で弦材が中軸面の方に向に押しあげられるのを支へてゐる。綾片又は綾片に軸圧縮力もかかるのであるがその影響は省略して差支へないであらう。 Q を δ の函数として求めれば (52) 式の如くである。

但し I_{ab} : 綾片の慣性モーメント

d: 絞片の幅

である。

四角柱が半径 R の圓弧状に曲げられて居るとすれば弦材の各格點には夫々 $\frac{EAjh}{\sqrt{2}R^2}$ が圖-23 の如く作用し正方形の断面を菱形に變形せんとする。圖-24 に就て此の變形を計算

圖-24

支那の書

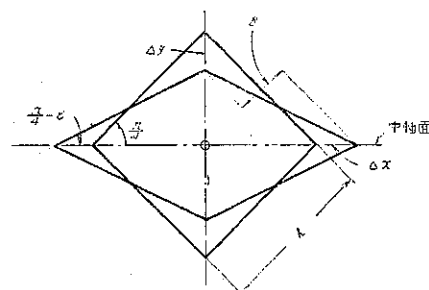
$$Ax = 2h \cos\left(\frac{\pi}{4} + \frac{\varepsilon}{2}\right) \sin\frac{\varepsilon}{2}$$

$$dy = 2h \cos\left(\frac{\pi}{4} - \frac{\varepsilon}{2}\right) \sin\frac{\varepsilon}{2}$$

$$\delta = (\Delta x + \Delta y) \sin \frac{\pi}{4}$$

$$= \lambda \sin \epsilon$$

•he



柱が曲げられると断面がかく變形せられるから其處に慣性モーメントの減少が生ずる。即ち

$$J = 2A_3 h^2 \sin^2\left(\frac{\pi}{4} - \varepsilon\right)$$

$$= A_3 h^2 (1 - \sin 2\epsilon)$$

$$\doteqdot I_0(1 - 2\varepsilon)$$

$$= J_0 \left(1 - \frac{2\delta}{h} \right)$$

但し $I_0 = Ah^3$ (曲げられる前の慣性モーメント)

次に格點に於ては図-22 (b) の如く 4 本の綫片が集中してあるものと見做す事が出来るから Q に對しては次の式が成立する。實際には図-22 (c) の如く綫片を施すが力學的には図-22 (b) と同様に扱はれる。

$$4Q \sin \frac{\pi}{4} = 2\sqrt{2} Q = \frac{EA_{eff}l}{\sqrt{2}K^2}$$

(52) 式を代入すれば

$$\delta = \frac{e^4 \pi h J d^3}{48 I_a R^2}$$

三九

$$J = J_0 \left(1 - \frac{A g d^3}{\varrho A L_2} \cdot \frac{1}{L^2} \right)$$

$$\therefore \beta^2 = \frac{A_7 A_9}{B_4 B_3}$$

(41) の條件式より

$$\frac{\beta^2}{\alpha^2} = \frac{\pi^2 A_{JL} d^3}{24 J_L^2 J_R} \leq \frac{2}{3}$$

或ひは

$$\frac{I_a}{I_e} \geq \frac{\pi^2 \cos \theta}{2s^2 \sin^2 \theta} \quad \dots \dots \dots \quad (53)$$

(b) 第 2 種骨組

第1種骨組の場合と同様に計算される。計算の順序を示せば次の如くである。

(52) 式より

$$Q = \frac{12EI_h}{h^3} \delta$$

$$\text{格點に於て} \quad \sqrt{2}Q = \frac{EA_fhl}{\sqrt{2}R^2}$$

$$\delta = \frac{A_3 h^4 l}{24 I_h k^2}$$

$$\beta^2 = \frac{2\delta}{h} R^2 = \frac{A_j h^4 \cos \theta}{12 I_h \sin \theta}$$

$$\frac{\beta^2}{\alpha^2} = \frac{\pi^2 A_h h^4 \cos \theta}{12 L^2 I_h \sin \theta} \leq \frac{2}{3}$$

(c) 第3種骨組

第3種骨組に於ては矢張り荷重の配分が問題となり計算が多少複雑となる。図-25の如く格點に荷重がかかつたとし之に對する綫片、綫片の反力を夫々 P_a, P_b とする。 P_1, P_2 の方向は骨組の面に 45° をなして居り P_a, P_b は骨組の面に直角に作用してゐる。

之等の諸力の間には次の關係が成立する。

$$P_1 + P_2 = \frac{E A f l}{\sqrt{2} R^2}$$

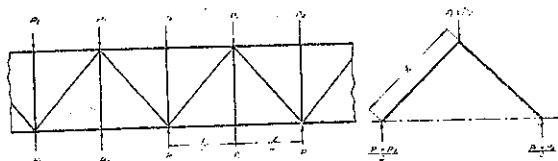
$$P_1 = 2(P_h + 2P_d) \sin \frac{\pi}{4}$$

$$P_2 = 2P_h \sin \frac{\pi}{4}$$

$$P_h = \frac{12EI_h}{h^3} \delta$$

$$P_d = \frac{12EI_d}{d^3} \delta$$

圖-25



以上より P_1, P_2, P_h, L_d を消去すれば

$$\delta = \frac{1}{48} \cdot \frac{A_f h l}{I_h + I_d} \cdot \frac{1}{R^2}$$

$$\therefore \beta^2 = \frac{2\delta}{h} R^2 = \frac{1}{24} \cdot \frac{A_{jl}}{\frac{I_h}{r^3} + \frac{I_a}{r^3}}$$

$$\frac{\beta^2}{\alpha^2} = \frac{\pi^2 A_{fl}}{24 L^2 \left(\frac{I_h}{z_h^2} + \frac{I_d}{z_d^2} \right)} \leq \frac{2}{3}$$

(55) 式に於て $I_h=0$ と置き、(53) 式に $I_d=0$ と置けば (54) 式に夫々一致する。

(d) 第4種骨組

第4種骨組に於ては第3種骨組に於ける I_1 を $2I_1$ に置き換へれば良い。即ち求むる條件式は

$$\frac{1}{I_0} \left(\frac{J_h}{h^3} + \frac{2J_d}{d^3} \right) \geq \frac{\pi^2 \cos \theta}{2s^2 h^2 \sin \theta} \quad \dots \dots \dots \quad (56)$$

(e) 第 5 種骨組

(56) 式に於て $I_h=0$ と置けば第 5 種骨組に対する條件式を得る。即ち

$$\frac{I_{th}}{I_0} \geq \frac{\pi^2 \cos \theta}{4 s^2 \sin^4 \theta} \quad \dots \dots \dots \quad (57)$$

四角柱の対角線の方向の挫屈を不安定ならしめない爲の條件は全て上述の如く $\frac{I_t}{I_o}$ 或は $\frac{I_h}{I_o}$ が細長比 s と角度 θ との函数として表はされる。即ち綾片又は綴片の慣性モーメントが組合せ四角柱全體の慣性モーメントと對比せしめられるのであるから實際には殆ど施し得ない程過重な慣性モーメントが要求せられてゐる事が解る。

之に對して骨組の平面内で挫屈する場合の條件式に於ては弦材の斷面積に對する綾片又は綴片の斷面積が限定され常識的な見當とも良く一致してゐると思はれる。

四角柱の対角線の方向の挫屈に對して綫片又は綴片の曲げ剛さで抵抗せんとする事は殆ど不可能と謂つて良く、此の爲にはどうしても対角線の方向に繊材等の如き手段を必要とするであらう。

3. 組合せ三角柱に対する計算

組合せ四角柱は断面の対角線の方向に對して安定度が非常に低い事は前章 (ii) 節に於て計算に依つて實際に示された通りである。此れは四邊形の不靜定に起因するものであつて、対角線の方向に繊材でも入れて靜定的な断面とすれば充分な安定度を附與する事が出来るであらう。

之に對して組合せ三角柱は三角形が其れ自身靜定的である爲に安定度に對しては非常に有利である。本章に於ては組合せ三角柱に就てその挫屈を不安定ならしめざる條件を計算する。

三角柱としては正三角形断面が最も効果的である。正三角形の重心を原點として図-26 の如く座標軸を取れば 三角柱の挫屈に對しては一側面の方向に挫屈する場合即ち α 軸の方向に挫屈する場合と一側面に直角の方向に挫屈する場合即ち β 軸の方向に挫屈する場合との 2 つの特性的場合とが考へられる。

(i) 一側面の方向に挫屈する場合

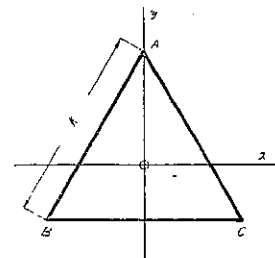
此の場合には BC なる骨組面がその平面内で挫屈するのであつて、その他の面は此の方向の挫屈に對しては殆ど作用してゐないと見做す事が出来る。従つて前

章 (i) の場合の計算が直ちに此の場合に適用せられる。但し四角柱の場合と三角柱の場合とでは骨組の幅が同じであつても柱の断面の回転半径は異なる。従つて細長比が異つて来る。四角柱に於ける細長比は $\frac{2L}{h}$ であるに對して三角柱に於ては $\frac{\sqrt{6}L}{h}$ である。即ち最後の條件式の右邊が形に於て前章 (i) の場合の $\frac{3}{2}$ 倍となる。5種の骨組の三角柱に對して一側面の方向の撓屈を不安定ならしめざる爲の條件を列記すれば次の如くである。

$$\frac{A_a}{A_f} \geq \frac{9\pi^2 \cos \theta}{s^2 \sin^4 \theta} \quad \dots \dots \dots \quad (58)$$

$$\text{第3種骨組 } \frac{1}{4x}(A_h + A_a \sin^3\theta) \geq \frac{9\pi^2 \cos\theta}{s_e^2 \sin\theta} \quad \dots \dots \dots \quad (60)$$

圖-26.



(ii) 一側面に直角の方向に挫屈する場合

結論を先にすれば此の場合の安定條件は結局 (i) の場合と全く同一となる。即ち (58)～(62) の各式が其儘適用されるのであるが、計算過程を示せば次の如くである。

(a) 第 1 種骨組

第1種骨組に於ける關係諸量は圖-27に示される如くあるとし柱が曲率 $\frac{1}{R}$ に曲げられてゐる状態を考へる。

弦材 A の垂度は $\frac{h}{\sqrt{3}R}$ となり従つて各格點に於て
弦材が中軸面の方向に押される力 P_A は次の如く表は
される。

$$P_A = \frac{EA_{fl}l}{\sqrt{3}R^2}$$

同様に弦材 B, C が中軸面の方向に押される力は各格點に於て

$$P_B = P_C = \frac{EA_f h l}{2\sqrt{3} R^2} = \frac{P_A}{2}$$

である。之等の力を支へてゐるもののが綾片である。

綾片の間隔は l であつて図-27 (b) の如く施されてゐるとする。三角柱の各面に於て間隔が l でさへあれば綾工の位相のづれは別に問題とはならない。従つて最も考へ易い場合を取つたのである。實際の場合には図-27 (c) の如く施される。

先づ AB 面、AC 面に於ける綾片の受ける圧縮力を計算する。A 點に 4 本の綾片が集中してゐるとしてその 1 本にかかる應力を P_a とすれば

$$P_A = \frac{EA_1 h l}{\sqrt{3} R^2} = 4 P_a \sin \theta \sin \frac{\pi}{3}$$

$$P_d = \frac{EA_j h l}{6R^2 \sin \theta} = \frac{EA_j h^2 \cos \theta}{3R^2 \sin^2 \theta}$$

AB_2 面、 AC 面の綫片は圧縮力を受けるが、 BC 面の綫片は引張力を受ける。 BC 面の各綫片の受ける引張力を P_d' とすれば

$$2P_d' \sin \theta = 2P_d \sin \theta \cos \frac{\pi}{3}$$

$$\therefore P_{d'} = \frac{1}{2} P_d = \frac{EAjh^2 \cos \theta}{6K^2 \sin^2 \theta}$$

実際の場合には各綫片には曲げモーメントが加へられるであらうが三角形の静定性から考へてその影響は省略して差支へないと考へられる。

次に AB 面に就て (AC 面に就ても同様) その綾片が P_a なる圧縮力を受ける結果最初幅が h であつたものが柱が曲率 $\frac{1}{R}$ に曲げられた後如何程減じたかを求める。綾片 d の弾性的縮み Δl は

$$Ad = \frac{Pad}{EA_d} = \frac{A_j h^2 d \cos \theta}{3 A_d \sin^2 \theta} \cdot \frac{1}{R^2} = \frac{A_j h^3 \cos \theta}{3 A_d \sin^2 \theta} \cdot \frac{1}{R^2}$$

μ の減少量を $\Delta\mu$ とすれば

$$\Delta h = \Delta d \cosec \theta = \frac{A_d h^3 \cos \theta}{3 A_a \sin^4 \theta} \cdot \frac{1}{R^2}$$

BC 面に於ては綫片が引張られてゐるからその幅は最初 h であつたものが曲げられて後には h より $\Delta h'$ だけ大きくなる。

$$\Delta h' = \frac{A_d h^3 \cos \theta}{6 A_a \sin^4 \theta} \cdot \frac{1}{R^2}$$

従つて最初正三角形 ABC であつた断面が柱が曲げられた爲に図-28 の如く A'B'C' に變形された事になる。此の角變化を ϵ とする。

$$2A'B' \cos\left(\frac{\pi}{3} - \epsilon\right) = B'C'$$

$$\therefore 2(h - \Delta h) \cos\left(\frac{\pi}{3} - \epsilon\right) = h + \Delta h'$$

ϵ が小なる時は

$$\epsilon = \frac{\Delta h + \Delta h'}{\sqrt{3} h} = \frac{A_d h^3 \cos \theta}{2\sqrt{3} A_a \sin^4 \theta} \cdot \frac{1}{R^2}$$

AABC, AA'B'C' を比較して曲げられる前後の高さの減少 δ を求むれば

$$\delta = h \sin \frac{\pi}{3} - (h - \Delta h) \sin\left(\frac{\pi}{3} - \epsilon\right)$$

$$= \frac{1}{2\sqrt{3}} (4\Delta h + \Delta h')$$

$$= \frac{\sqrt{3} A_d h^3 \cos \theta}{4 A_a \sin^4 \theta} \cdot \frac{1}{R^2}$$

最後に慣性モーメントが柱の曲げられる前後でどう變化するかを計算する。曲げられない前の慣性モーメント I_0 は

$$I_0 = A_f \left(\frac{h}{\sqrt{3}} \right)^2 + 2A_f \left(\frac{h}{2\sqrt{3}} \right)^2 = \frac{A_f h^2}{2}$$

$$\text{回転半径 } i = \frac{h}{\sqrt{6}}$$

曲げられた後の慣性モーメント I は

$$I = A_f \left(\frac{h}{\sqrt{3}} - \frac{2}{3} \delta \right)^2 + 2A_f \left(\frac{h}{2\sqrt{3}} - \frac{1}{3} \delta \right)^2$$

$$= I_0 \left(1 - \frac{4\delta}{\sqrt{3} h} \right)$$

従つて

$$\beta^2 = \frac{4\delta}{\sqrt{3} h}, R^2 = \frac{\Delta h^3 \cos \theta}{A_a \sin^4 \theta}$$

(41) の條件式より

$$\frac{\beta^2}{\alpha^2} = \frac{\pi^2 A_d h^2 \cos \theta}{A_a J_f \sin^4 \theta} \leq \frac{2}{3}$$

或は

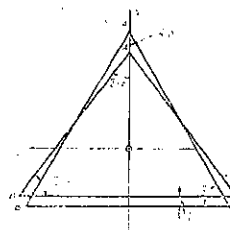
$$\frac{A_d}{A_f} \geq \frac{9\pi^2 \cos \theta}{s^2 \sin^4 \theta}$$

但し s は細長比であつて三角柱の場合には $\frac{1}{s^2} = \frac{h^2}{6L^2}$ である。上式は (58) 式と全く同じである。

(b) 第 2 種骨組

AB 面或は AC 面に就て考へるのに綫片 h の受ける圧縮力 P_h は

図-28.



$$2P_h \sin \frac{\pi}{3} = P_A$$

$$\therefore P_h = \frac{P_A}{\sqrt{3}} = \frac{EA_j h l}{3R^2}$$

綾片 h の縮み Δh は

$$\Delta h = \frac{P_h h}{E A_h} = \frac{A_j h^3 \cos \theta}{3 A_h R^2 \sin \theta}$$

次に BC 面に就て考へるのに綾片 h の受ける引張力 $P_{h'}$ は

$$P_{h'} = \frac{1}{2} P_h = \frac{EA_j h l}{6R^2}$$

綾片 h の伸び $\Delta h'$ は

$$\Delta h' = \frac{A_j h^3 \cos \theta}{6 A_h R^2 \sin \theta}$$

$$\therefore \delta = \frac{1}{2\sqrt{3}} (4\Delta h + \Delta h')$$

$$= \frac{\sqrt{3} A_j h^3 \cos \theta}{4 A_h \sin \theta} \cdot \frac{1}{R^2}$$

従つて (a) の場合と同様に

$$\beta^2 = \frac{4\delta}{\sqrt{3} h} L^2 = \frac{A_j h^2 \cos \theta}{A_h \sin \theta}$$

(41) の條件式より

$$\frac{\beta^2}{\alpha^2} = \frac{\pi^2 A_j h^2 \cos \theta}{A_h L^2 \sin \theta} \leqq \frac{2}{3}$$

或は

$$\frac{A_h}{A_f} \geqq \frac{9\pi^2 \cos \theta}{s^2 \sin \theta}$$

此れは (59) 式と全く同じである。

三角柱に於ける第 1 種骨組と第 2 種骨組との比較は四角柱に於ける同じ比較と全く同様である。

(c) 第 3 種骨組

第 3 種骨組に對しても同様に計算出来る。結果に於ては (a) の場合と (b) の場合とを機械的に組合せたものと同じになる。(41) の條件式は次の如くなる。

$$\frac{1}{A_f} (A_h + A_a \sin^2 \theta) \geqq \frac{9\pi^2 \cos \theta}{s^2 \sin \theta}$$

此れは (60) 式と全く同じである。

(d) 第 4 種骨組

安定條件の式は次の如くなる。

$$\frac{1}{A_f} (A_h + 2A_a \sin^2 \theta) \geqq \frac{9\pi^2 \cos \theta}{s^2 \sin \theta}$$

此れは (61) 式と全く同じである。

(e) 第 5 種骨組

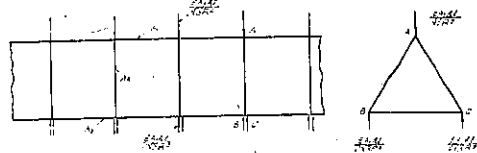
安定條件の式は次の如くなる。

$$\frac{A_a}{A_f} \geqq \frac{9\pi^2 \cos \theta}{2s^2 \sin^4 \theta}$$

此れは (62) 式と全く同じである。

以上で 5 種の骨組型式の組合せ三角柱に對してその綾片又は綾片の斷面を規定する條件式を求むる事が出來た。

圖-29.



その結果は骨組面の方向に撓屈する場合に對しても又骨組面に直角の方向に撓屈する場合に對しても同一の條件式を得た。即ち三角柱の撓屈に對する安定度は方向に無關係である事が解る。此の點は四角柱と全然趣を異にしある。條件式の形としては四角柱の場合と良く類似してある。

4. 管柱に對する計算

本章に於ては管を柱として使用する場合、此れが不安定なる撓屈を起さざる爲には、換言すれば柱として安定である爲には、その肉厚が管の半径に對して如何程でなければならないかを定める條件を求め様とする。組合せ圧縮材の場合と同じく中空圧縮材に對する基礎方程式に依つて取扱ひ得る事は第2編に於て示した。求むる條件式は細長比或は長さと半径の比のみの函数として求められる管である。

問題は結局 β^2 の値を求むる事に歸するが、此の爲には組合せ圧縮材の場合にもさうであつた如く管柱の曲げ剛さが曲げに依つて如何に變化するかを調べて見れば良い。

長い管柱が半径 R の圓弧状に曲げられたとすれば、中央軸面は伸び縮みがなく、中軸面より外側は引伸され内側は圧縮される。管の半径(肉厚の中心迄)を r_0 、厚さを t 、中軸面は x 軸を通るとし極座標に依つて歪度を出せば偏角 θ を有する點に於ては

$$\frac{r_0 \sin \theta}{R^2}$$

であり、管の厚さ t は r_0 に比して小であるとする。従つてその點を中心とする微小部分 $tr_0 d\theta$ に作用する引張乃至圧縮力は

$$E r_0^2 t \sin \theta d\theta = \frac{E r_0^2 t \sin \theta d\theta}{R}$$

半径 R に曲げられてその断面 $tr_0 d\theta$ に上記の如き引張乃至圧縮力を働かせる爲には半径 R なる圓に對して求心乃至遠心的に作用する静水圧の如き力を此の圓弧にかけなければならない(圖-31)。その単位長さ當りにかかる静水圧を dq とすれば

$$dq = \frac{E r_0^2 t \sin \theta d\theta}{R^2} \quad \dots (63)$$

即ち管の断面を取つて考へれば管が半径 R に曲げられた場合管の表面 $r_0 d\theta$ 當りに圖-32 に示される如き圧力を受けてゐる事になる。従つて管の断面は最初圓形であつても曲げられて後は圖-32 に示される如き力を受けて彈性的に變形する管であり、變形の仕方は變形が極く僅かであれば椭圓的であらうと豫め推定する事が出来る。

かかる荷重を受けて厚さ t を有する圓環が如何に變形するかを次に求めて見よう。但し圓環の軸方向の應力に基く歪度に依る變形は小なるものと推定せられるから之は省略して、専ら曲げモーメントに依る圓環の變形を求める。此の變形に依る慣性モーメントの減少を求むれば問題は解決されるのである。

圓環を中軸面で截つて其の上半を取つて考へれば其の切口に於ては圖-33 の如き反力 P と曲げモーメント M を加へなければならない。

P を求むれば

$$P = \int_0^{\frac{\pi}{2}} dq = \int_0^{\frac{\pi}{2}} \frac{E r_0^2 t \sin \theta}{R^2} d\theta$$

圖-30.

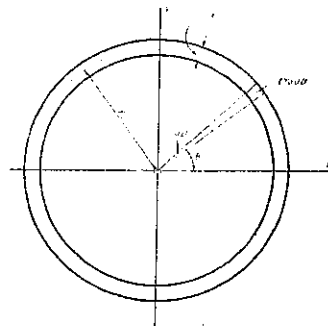


圖-31.

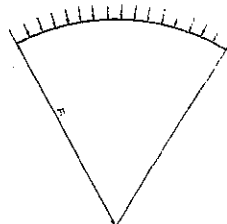
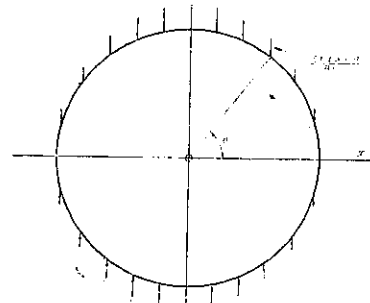


圖-32.



$$M = M_0 - Pr_0(1 - \cos\theta) + \int_0^\theta dq r (\cos\phi - \cos\theta) \\ = M_0 - \frac{Pr_0^3 t}{2R^2} \sin\theta \quad \dots \dots \dots (65)$$

$$r' = \frac{dr}{d\theta} \quad r'' = \frac{d^2r}{d\theta^2}$$

$$J_t = \frac{t^3}{12} \quad (\text{柱の単位長さを取つて考へる})$$

左邊の第 1 項は極座標で表はした曲率の式である。第 2 項は曲げられる前の圓環の曲率であつて此れは常數である。變形の極く僅かな場合を論ずるのであるから第 1 項の τ の値は τ_0 の前後を僅かに變動するのみである。

上記の微分方程式を解いて截口 A 或は B に於ける切線が y 軸に平行であると謂ふ條件を入れれば M_0 が決定せられる筈である。然しながら微分方程式を上記の儘で解く事は困難であるから 最小仕事の原理に依り M_0 を決定する。

(67) 式を (65) 式に代入すれば

(68) 式を (66) 式に代入して解けば圓環の變形が求められる。變形が極く僅かな時には橢圓となるであらう事が豫想せられるから逆に橢圓を假定して其の曲率を求めて見る。

橢圓の方程式は極座標で表はせば

$$r^2 \left(\frac{\cos^2 \theta}{a^2} + \frac{\sin^2 \theta}{b^2} \right) = 1 \quad \dots \dots \dots \quad (69)$$

但し、 a, b は夫々橍圓の長軸及び短軸の長さの半分であつて圓環の中心線の長さは不變であるとしてゐるから

なる制約を受けてゐる。

此の橢圓の曲率 $\frac{1}{a}$ を計算すれば

$$\frac{1}{\rho} = \frac{r^2 + 2r'^2 - rr'}{(r^2 + r'^2)^{\frac{3}{2}}} = \frac{\left(\frac{\cos^2 \theta + \sin^2 \theta}{a^2 + b^2}\right)^{\frac{3}{2}}}{a^2 b^2 \left(\frac{\cos^2 \theta + \sin^2 \theta}{a^4 + b^4}\right)^{\frac{3}{2}}}$$

$$\frac{a^2 - b^2}{a^2} = e^2 \text{ と置けば } e^2 \text{ は非常に小である故}$$

$$\left. \begin{array}{l} \frac{b^2}{a^2} = 1 - e^2 \\ \left(\frac{b}{a} \right)^n = 1 - \frac{n}{2} e^2 \end{array} \right\} \dots \dots \dots \quad (71)$$

と置く事が出来る。之等の関係を用ひて上式を近似的に簡易化すれば

$$\frac{1}{\rho} = \frac{1}{r_0} (1 - e^2)^{\frac{3}{2}} (1 - e^2 \cos^2 \theta)^{\frac{3}{2}} \{ 1 - e^2 (2 - e^2) \cos^2 \theta \}^{-\frac{3}{2}}$$

e^4 以下を省略すれば

$$\frac{1}{\rho} = \frac{1}{r_0} \left(1 + \frac{3}{4} e^2 \cos 2\theta \right) \dots \dots \dots \quad (72)$$

此の値を (66) 式に代入し (68) 式を考慮に入れれば

$$\frac{3e^2}{4r_0} \cos 2\theta = -\frac{M}{EI_t} = -\frac{r_0^3 t}{4I_t R^2} \cos 2\theta$$

従つて $I_t = \frac{t^3}{12}$ であるから

$$e^2 = \frac{r_0^4 t}{3I_t R^2} = \frac{4r_0^4}{t^2 R^2} \dots \dots \dots \quad (73)$$

即ち微分方程式 (66) の解は (73) 式の如き離心率を有する機能となつた譯である。管の場合に於ても組合せ壓縮材の場合と同様に變形が $\frac{1}{R^2}$ に比例してゐる事は注目に値する。此の事は中空壓縮材を通じての特性であり之に依つて中空壓縮材を定義する事も出来るであらう。

以上で R と e^2 の関係が求められた。次に慣性モーメントの變化と e^2 の関係が求められれば、結局管柱が曲げられた爲に慣性モーメントが如何に減少するかが解り、従つて中空壓縮材の基礎方程式に依つて挾屈の安定、不安定が判定せられる。

柱が曲げられる前の慣性モーメントを J_0 とすれば

$$J_0 = \frac{\pi}{4} \left\{ \left(r_0 + \frac{t}{2} \right)^4 - \left(r_0 - \frac{t}{2} \right)^4 \right\}$$

柱が曲げられて後の慣性モーメントを J とすれば

$$J = \frac{\pi}{4} \left\{ \left(a + \frac{t}{2} \right) \left(b + \frac{t}{2} \right)^3 - \left(a - \frac{t}{2} \right) \left(b - \frac{t}{2} \right)^3 \right\}$$

然るに

$$\left. \begin{array}{l} a = r_0 \left(1 + \frac{e^2}{4} \right) \\ b = r_0 \left(1 - \frac{e^2}{4} \right) \end{array} \right\}$$

と置き得る故

$$\begin{aligned} J &= \frac{\pi}{4} \left\{ \left(r_0 + \frac{t}{2} + \frac{r_0 e^2}{4} \right) \left(r_0 + \frac{t}{2} - \frac{r_0 e^2}{4} \right)^3 - \left(r_0 - \frac{t}{2} + \frac{r_0 e^2}{4} \right) \left(r_0 - \frac{t}{2} - \frac{r_0 e^2}{4} \right)^3 \right\} \\ &\stackrel{e^2 \ll 1}{=} \frac{\pi}{4} \left[\left(r_0 + \frac{t}{2} \right)^4 - \left(r_0 - \frac{t}{2} \right)^4 - \frac{r_0 e^2}{2} \left\{ \left(r_0 + \frac{t}{2} \right)^3 - \left(r_0 - \frac{t}{2} \right)^3 \right\} \right] \\ &= J_0 \left\{ 1 - \frac{12r_0^2 + t^2}{8(4r_0^2 + t^2)} e^2 \right\} \end{aligned}$$

(73) 式を代入すれば

$$J = J_0 \left\{ 1 - \frac{r_0^4 (12r_0^2 + t^2)}{2t^2 (4r_0^2 + t^2)} \cdot \frac{1}{R^2} \right\} \dots \dots \dots \quad (74)$$

$$\therefore \beta^2 = \frac{r_0^4 (12r_0^2 + t^2)}{2t^2 (4r_0^2 + t^2)}$$

挫屈が不安定ならざる爲の條件は

$$\frac{\beta^2}{\alpha^2} = \frac{\pi^2 r_0^{-4} (12r_0^2 + t^2)}{2L^2 t^2 (4r_0^2 + t^2)} \leq \frac{2}{3} \quad (75)$$

(75) 式を $\frac{t^2}{r_0^2}$ に就て解けば

$\frac{r_0}{L}$ が小なる場合は (76) 式は近似的に次の如く表はされる。

r_0 に対して t が小なる時は断面の回転半径は近似的に $\frac{r_0}{\sqrt{2}}$ である。従つて(76)式を細長比 s で表はせば次式を得る。

$$\frac{t^2}{r_0^2} \geq \frac{1}{2} \left\{ \sqrt{16 + \frac{60\pi^2}{s^2} + \frac{6\pi^4}{4s^2}} - 4 + \frac{3\pi^2}{2s^2} \right\} \quad \dots \dots \dots \quad (78)$$

管柱に關して行つた以上の計算に於ては最初に t を πr に比して小であるとして近似的に取扱つてゐる。以下(76)式迄は e^t に關しては近似計算を行つてゐるが t に關しては近似計算を行つてゐない。(78)式は(76)式より近似的に求めたものであつて(76)式の方が正確である。管柱の場合には殊更に細長比の函数とする必要はなく、(76)式の方が便利であらう。 r_0 は管の厚さの中心迄の長さである事は勿論である。

(76) 式に対する數表は表-5 に示す如くであり、之に対するグラフは 図-13 に示した。

管柱の安定不安定に關聯して思ひ出されるのは竹の節の存在である。竹の節に於ては外側に膨れ上つてゐる部分は恰も補剛材の如き役割を果し、内側には相等強い膜を有し、尙且つ節の附近に於ては材料が緻密となつてゐる。

表-5

$$\frac{t^2}{r_0^2} \leq \frac{1}{2} \left\{ \sqrt{16 + 30\pi^2 \left(\frac{r_0}{L} \right)^2 + \frac{9\pi^4}{16} \left(\frac{r_0}{L} \right)^4} - 4 + \frac{3\pi^2}{4} \left(\frac{r_0}{L} \right)^2 \right\}$$

$\frac{r_0}{L}$ 小なるとき

$$\frac{t}{r_0} \geq \frac{3\pi}{2} \left(\frac{r_0}{L} \right) \left\{ 1 - \frac{3\pi^2}{16} \left(\frac{r_0}{L} \right)^2 \right\}$$

$$\doteq \frac{2\pi}{2} \left(\frac{r_0}{L} \right)$$

| $\frac{L}{r_0}$ | 10 | 15 | 20 | 25 | 30 | 40 | 50 | 60 | 70 | 80 | 90 | 100 | 110 | 120 | 130 | 140 |
|-----------------|------|------|------|------|------|------|------|------|------|------|------|------|------|------|------|------|
| $\frac{r_0}{t}$ | 2.16 | 3.21 | 4.26 | 5.32 | 6.38 | 8.50 | 10.7 | 12.7 | 14.9 | 17.0 | 19.1 | 21.2 | 23.3 | 25.5 | 27.6 | 29.7 |

かくの如く三段構へに構へて曲げに依る斷面の變形に抵抗しようとしてゐる。節の存在は植物生理學的に如何なる役割を果してゐるものか判らないが恐らく大した役割は有つてゐないであらう。もしそうであるとすれば節の存在は自己の力學的安定度を増大せんとする目的以外の何物でもない。節の間隔等も必要にして充分な程度の安定度を得る様に美しい調和を保つて配置されてゐるものと思はれる。

従来の應用力學に於ては曲げに依る断面の變形は重要視せられなかつた。従つて竹の節の力學的意義は認められなかつた。併しながら竹に節の無い場合を考へれば非常に弱くなり安定を保ち得ないであらう事は常識的にも豫想される。竹の節は中空壓縮材に於ては限界荷重の外に安定、不安定の問題が非常に重要である事を示す良き實例の一つとして擧げる事が出来る。

卷五

本篇に於ては第 2 篇に於て導いた中空断面材の安定条件を諸種の組合せ断面並びに管柱に對して實際に適用

した。組合せ四角柱が一側面の方向に挫屈する場合の安定條件は橋梁等に用ひられる組合せ圧縮材にも適用せらる。

組合せ四角柱に綾片又は綴片に依つて対角線の方向の挫屈に對して充分の安定度を持たせる事は非常に困難である。

組合せ三角柱に對しては骨組面の方向と骨組面に直角の方向との 2 つの特性的方向が認められるが何れの方向に對しても安定度は同一である。此の點は四角柱と大いに異なる點である。

管柱の安定も中空圧縮材に対する基礎方程式に依つて論ずる事が出来る。その結果は(76)乃至(78)式で表はされる本篇の結果は第4編の結果と相俟つて總括する。

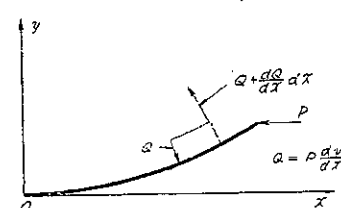
4. 組合せ圧縮材の挫屈に及ぼす剪断力の影響

1. 圧縮材の挫屈に及ぼす剪断力の影響に関する一般論

第3篇迄に於ては、圧縮材が撓屈した場合の撓曲線は曲げモーメントのみに支配されるとして式を樹て、之に依つて撓屈現象を論じ、結論として中空圧縮材の限界荷重は常にオイレルの限界荷重に等しい事及び中空圧縮材が不安定なる撓屈を起さざる爲の條件を求める事が出來た。上記の所論に於ては剪断力の影響を全然無視したのであつた。

中空圧縮材特に組合せ圧縮材に於ては剪断力の影響は非常に大きく、之を無視する事の出来ない事は後に實際に計算される如くである。然しながら都合の良い事には剪断力の影響は結局限界荷重を低下せしめるだけであつて、中空圧縮材が不安定なる挫屈を起さざる爲の條件には全然關係しない。従つて中空圧縮材の挫屈に及ぼす剪断力の影響は第3篇迄の所論に之を積重ねれば良いのである。

-34



限界荷重に対する剪断力の影響に就てはティモシェンコ氏の屈屈理論第 2 章第 26 節に記述されてゐる。仲、濱川、久田 3 氏共譯書より原文通り引用すれば次の如くである。

“挫屈荷重に關する諸公式を前に導いた際には曲率が曲げモーメントに比例するものとして通常の撓曲線の微分方程式を用ひた。次に挫屈荷重に對する剪斷力の影響を 図-34 (原著圖-85) に示す様な簡単な場合に就て考へよう。剪斷力の正の方向を -34 に示す様にとれば、此の力の大きさ

となる。此の力に依つて起る撓曲線の撓角の変化は rQ/AG となる。ここに A は断面積、 G は剪断弾性係数、 r は断面の形狀に關係する係数である。矩形断面の場合には $r=1.2$ 、圓形断面の場合には $r=1.11$ となる。剪断力 Q に基づく撓角の変化の割合は剪断に依つて生ずる附加的曲率を表すもので次の様になる。

$$\frac{r}{AG} \cdot \frac{dQ}{dx} = \frac{rP}{AG} \frac{d^2y}{dx^2}$$

撓曲線の全曲率は曲げモーメントに依る曲率に剪断力に依る曲率を加へたものである。従つて図-34の場合の撓曲線の微分方程式は次の様になる。

$$\frac{d^2y}{dx^2} = \frac{P(\delta - y)}{EI} + \frac{rP}{AG} \cdot \frac{d^2y}{dx^2}$$

此の方程式と次式(剪断力を考慮しない場合)

$$EI \frac{d^2y}{dx^2} = P(\delta - y)$$

とを比べると右邊の分母に係數 $(1 - \frac{rP}{AG})$ を持つ點だけが異つてゐる。第 12 節に於けると同様の方法を用ふれば荷重 P の挫屈值を定める次式を得る。

$$\frac{P}{EI\left(1 - \frac{rP}{4G}\right)} = \frac{\pi^2}{4l^2}$$

之から

となる。此の式の $P_c = \frac{\pi^2 EI}{4L^2}$ は此の場合の Euler の挫屈荷重である。従つて挫屈荷重は剪断力の爲に

$$\frac{1}{1 + \frac{rP_e}{A(t)}}$$

なる割合で減少する。單一柱の場合には此の比が殆ど 1 となり、剪断力の影響を無視する事が出来る。然し組立柱に對する影響は實用上重要な問題であつて考慮しなければならない。

以上の式に於て用ひられてゐる G は材料固有の G であるが中空圧縮材に於て之を 1 本の中實な柱と見做した場合には之の見かけの剪断弾性係数はより小さくなるであらう。中空圧縮材に於ては此の見かけの G を計算すれば $\pi/4G$ に相當する數値が求められ、従つて (81) 式に依つて限界荷重の低下が求められる筈である。

中空圧縮材の挫屈に対する基礎方程式は曲げられるに従つて曲げ剛さが減ずると謂ふ點を加味すれば誘導される。即ち (80) 式に於ける I を

$$I = I_0 \left\{ 1 - \beta^2 \left(\frac{d^2 y}{d x^2} \right)^2 \right\}$$

但し I_0 : 曲げられない前の慣性モーメントと置き換へれば、剪断力の影響をも考慮して中空圧縮材の焼曲線に対する微分方程式が得られる。

此處で

$$\frac{1}{\alpha^2} = \frac{P}{EI_0 \left(1 - \frac{rP}{|G|}\right)}$$

と置けば剪断力を考慮しない場合の中空圧縮材に対する基礎方程式と形に於て全然同一となる（著者の座標の取り方では (2) 式に於て $\delta=0$ となる）。但し $1/\alpha^2$ の内容に於て rP/AG なる項が含まれた處が異なるのみである。

不安定なる挫屈を起さざる爲の條件は

$$\frac{B^2}{C^2} \leq \frac{2}{3}$$

である。 α としては限界荷重 P_c に於ける値を用ふべきであるが、其の時は

$$\frac{1}{\alpha^2} = \frac{P_{cr}}{EI_0 \left(1 - \frac{\rho P_{cr}}{4G}\right)} = \frac{P_e}{EI_0}$$

但し P_c : オイレルの限界荷重

であるから、兩端鉸支持の中空圧縮材の場合には結局

$$\frac{1}{\alpha^2} = \frac{\pi^2}{J^2}$$

と置かれる事になる。此の関係も亦剪断力を無視した場合と全然同一である。

従つて中空圧縮材の挫屈に關して剪斷力を考慮すると謂ふ事はより正確な限界荷重を求むる事であつて、挫屈の安定、不安定の判断には全然無關係である事が解る。従つて第3篇に於て求められた諸結果は剪斷力を考慮する場合に於ても其の値適用せられるものである。

中空圧縮材に於ては剪斷力に依る曲げ剛さの減少も考へられるが曲げモーメントに依る減少に比較すれば無視し得る。

本篇に於ては剪斷力の影響を考慮に入れて第3篇に於て取扱つた諸種の組合せ圧縮材の限界荷重を計算する。

2. 剪斷力の影響を考慮した場合の組合せ四角柱の限界荷重

骨組の種類は図-16に掲げた5種とし、一側面の方向に挫屈する場合と對角線の方向に挫屈する場合とを計算する。結論を先に謂へば何れの方向の挫屈に對しても限界荷重は同じである。

(i) 一側面の方向に挫屈する場合

組合せ圧縮材の剪斷抵抗を之と大きさの同じである中實單體の圧縮材に置き換へて考へ、之の剪斷彈性係数を求めんとするのであるが、之は元の組合せ圧縮材から見れば見かけの剪斷彈性係数とも呼ばるべきものであらう。之を求むる爲には純粹に剪斷力のみをかけて見て此に對する抵抗を吟味すればよい。

先づ置換した中實單體の圧縮材（紙面に垂直の方向には單位長さとする）を考へ之に純粹に剪斷力のみを作用せしめて見る。図-35に於ける如くに長さ L 、幅 τ なる壓縮材に外部から強度 τ なる剪斷力をのみをかけたとする。之は壓縮材の或る断面に $Q = \tau\tau h$ なる剪斷力をかけた場合に相當する。然る時は此の壓縮材の内部は何れの點に於ても剪斷應力は τ であつて引張應力、壓縮應力は全然生じない。即ち純粹に剪斷力だけを考へる時は材の縁維に於ても引張或は壓縮力を生じない。従つて材の縁維が伸びたり縮んだりはしない。此の事は以後の考へ方に於て重要な事であると思はれる。

次に骨組の枠だけを考へ、図-35の如き剪斷力をかけば明らかに図-36の如く容易に變形するであらう。斯の如き變形を起させない爲には図-37に於ける如く此の枠の内側に逆向きの剪斷應力 τ （外側の剪斷應力と同じ大きさ）を與へなければならない。

斯くすれば枠に於ける應力度分布は図-2の場合と同様である。

組合せ圧縮材に於ける綾工は此の内側に於ける剪斷力に對應すべきものである。此處に剪斷力に對する綾工の抵抗が認められる。

a) 第1種骨組

ワーレン型の第1種骨組に就て上述の見地から剪斷力に對する綾片の抵抗を吟味して見よう。弦材に對しては全體としては引張力も壓縮力も作用して居ないと見做す事が出来る。格點の附近局部的には作用してゐるが此れは無視し得る。即ち弦材には長さの變化は無い。従つて綾工の1格間長 l を採つて之の變形を考へるには、図-39の如く綾片に力をかけて見れば良い。頂點 A に於ては格間長 l に作用する全剪斷應力の合計 τl が集中してかかる。底點 B 及び C に於ては各々隣りの綾片にかかる

図-35.

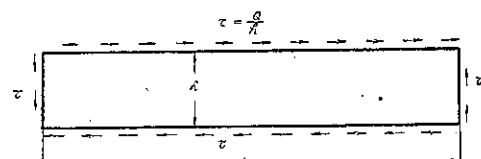


図-36.

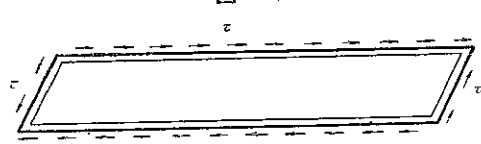
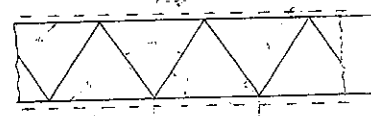


図-37.



図-38.



べき力を除けば夫々 $\tau l/2$ づつが \overrightarrow{OB} の方向にかかる事となる。斯る力系に於て A, B, C 共に移動するのであるが弦材に伸縮がない故邊 BC を固定して考へ A のみ A' に變位したと考へる事が出来る。然る時は此の組合せ壓縮材は剪断力 $Q = \tau h$ を受けて ϵ なる剪断歪度を受けたのである。次に ϵ を求めて見よう。

綫片 AB にかかる引張力は $\frac{\tau h}{2} \sec \theta$ である。従つて AB の伸びは

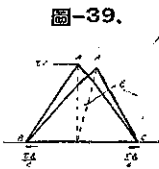
$$A'B - AB = \frac{\tau ld}{2EA_d \cos \theta} = \frac{\tau h^2}{EA_d \sin^2 \theta}$$

ACの縮みも同量である。

$$\therefore \varepsilon = \frac{AA'}{h} \div \frac{EA \sin^2 \theta \cos \theta}{rh}$$

然るに

$$\tau h = Q = P \frac{dy}{dx}$$



$$\therefore \varepsilon = \frac{Q}{EA_d \sin^2 \theta \cos \theta} = \frac{P}{EA_d \sin^2 \theta \cos \theta} \cdot \frac{dy}{dx}$$

ε が一定であれば圧縮材の撓みにはならない。即ち 図-36 の如く歪むだけである。 ε に変化がある時此れが撓みとなる。曲げモーメントに依る撓みに附加加へらるべき剪断力に依る撓みは

$$\frac{d\varepsilon}{dx} = \frac{P}{EA_d \sin^2 \theta \cos \theta} \frac{d^2 y}{dx^2}$$

で表はされる。 d^2y/dx^2 の係数である。

$$\frac{P}{EA_d \sin^3 \theta \cos \theta}$$

は(2)式に於ける

$$\frac{rP}{AG}$$

に相等する項である。従つて (81) 式と同様の形で限界荷重を求むれば

P_e はオイ レルの限界荷重であつて、兩端 簾支持の場合は

$$Pe = \frac{\pi^2 EI_0}{L^2}$$

である。従つて其の場合には

茲に $I_0 = 2A_f \left(\frac{h}{2}\right)^2$ であり、細長比を $s = \frac{2L}{h}$ で表はせば

此の組合せ歯縮材が骨組の平面に於て不安定な挫屈を起さない爲の條件は

$$\frac{A_d}{A_f} \geq \frac{6\pi^3 \cos \theta}{s^2 \sin^4 \theta} \quad \dots \dots \dots \quad (47)$$

であつた、此の関係を (83) 式に代入すれば次式を得る。

$$P_{cr} \geq \frac{\pi^2 EI_0}{L^2} \cdot \frac{1}{1 + \frac{1}{3} \tan^2 \theta} \quad \dots \dots \dots \quad (84)$$

(84) 式に依つて見ても限界荷重は綾片の角度如何に依つてオイレルの限界荷重と零の間を變化する。 $\theta \rightarrow 0$ なる時は限界荷重はオイレルの限界荷重に近づくが然しながら (47) 式に依れば $\frac{A_a}{A_f} \rightarrow \infty$ となり實現不可能であり、又 $\theta \rightarrow \frac{\pi}{2}$ ならしむれば (47) 式に對しては有利であるが (84) 式に於ては $P_{cr} \rightarrow 0$ となり又實際的でない。

(47) 式, (84) 式を同時に考慮すれば結局 $\theta = 45 \sim 60^\circ$ 程度が最も適當な處であらう。

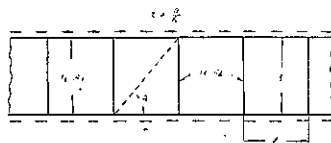
(88) 式はティモシェンコ氏著摺屈理論 27 節 (94) 式と同じものであつて、角度の取り方が $\psi = \frac{\pi}{2} - \theta$ になつてゐる點が異なるのみである。著者は不安定なる摺屈を起さざる爲の條件を之に加へて考察を一步進め様とするのである。

b) 第2種骨組

图-40.

第2種骨組に就ても同様の考への下に剪断力の影響を加味して限界荷重を求むる事が出来る。即ち

$$P_{cr} = \frac{\pi^2 EI_b}{L^2} \cdot \frac{1}{1 + \frac{\pi^2 EI_b}{L^2} \left\{ \frac{h^2 \cos \theta}{12 EI_h \sin \theta} + \frac{h^2 \cos^2 \theta}{24 EI_f \sin^2 \theta} \right\}} \quad (85')^*$$



此の場合には綫片 h の慣性モーメント I_h のみならず弦材の慣性モーメント I_f が入つて来る。此の種の構造が不静定なる爲である。

但し

s: 組合壓縮材全體に關する細長比

s_h : 練片 h に關する細長比

sy: 格間長 λ に関する弦材の細長比

である。此處に於て (48) 式の條件を入れれば

$\frac{8h^2}{36}$, $\frac{\pi^2 s^2}{12s}$ は通常の場合可成りに大きい數値を示すであらうから、第 2 種骨組に於ては不安定なる挫屈を起さざる爲の條件を満足する程度に強力な継片を施しても、その限界荷重 P_{cr} はオイレルの限界荷重 P_e より甚だしく低いであらう。

曲げモーメントのみを考へる時は第2種骨組は有利なる如く見えたが、剪断力の影響を考へる時はその骨組の不静定性に基く弱點が曝露され限界荷重の著るしき低下が見られる。

圖-41.

此の種の骨組で 図-41 の如き變斷面組合せ 壓縮材を集成すれば剪断力の影響に依る限界荷重の低下を覆ひ得て有利であらう。此の事は フィーレンディール橋の場合に就ても類似點を見出す。

^{*)} ティモシエンコ氏挫屈理論 27 節 (95) 式と同じものである。

第2種骨組の四角柱が其の骨組の平面で不安定なる摺屈を起さない爲の條件は

$$\frac{A_h}{A_f} \geq \frac{6\pi^2 \cos \theta}{s^2 \sin \theta} \quad \dots \dots \dots \quad (48)$$

であった。此の條件と關聯して考へるに都合よい様に (85') 式を變形すれば

$$P_{cr} = \frac{\pi^2 EI_0}{J^2} \cdot \frac{1}{1 + \frac{\pi^2 s_e^2 h \cos \theta}{6s^2 \sin \theta} \cdot \frac{A_f}{A_h} + \frac{\pi^2 s_f^2}{12s^2}} \quad \dots \dots \dots \quad (85)$$

c) 第3種骨組

此の場合には綫片 d に比較して綫片 h は剪断力に對して殆ど抵抗を及ぼさない。從つて剪断力に對しては第1種骨組を全く同様に取扱はれる。即ち限界荷重に對しては (83) 式が其儘適用される。

第3種骨組の組合せ圧縮材がその骨組の面内で不安定なる撓屈を起さない爲の條件は

$$\frac{1}{A_f}(A_h + A_a \sin^3 \theta) \geq \frac{6\pi^2 \cos \theta}{s^2 \sin \theta} \quad \dots \dots \dots \quad (49)$$

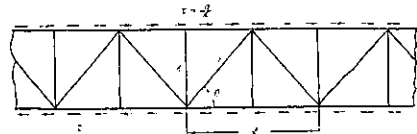
であつた。

此の條件式を (83) 式に代入すれば

$$P_{cr} \geq \frac{\pi^2 EI_0}{L^2} \cdot \frac{1}{1 + \frac{1}{3} \tan^2 \theta + \frac{A_h}{3A_a \sin \theta \cos^2 \theta}} \quad \dots \dots \dots \quad (87)$$

之に依つて見れば綫片を用ふるよりは綫片のみの方が有利の様に見える。然しながら (49) の條件式は綫片を取りやめれば取止めた材料より遙かに多くの材料を綫片に附加しなければならぬ事を示してゐる。經濟的な柱を組立てるには 2, 3 の場合に就て試算を行はなければならない。

圖-42.



d) 第4種骨組

此の場合に於ても綫片は剪断力に何等の抵抗をも及ぼさない。從つて第5種骨組(複ワーレン形)と同様に取扱はれる。複ワーレン型と同様であれば限界荷重に對する式は (83) 式に於て A_h を $3A_a$ と置けば良い。即ち

$$\begin{aligned} P_{cr} &= \frac{\pi^2 EI_0}{L^2} \cdot \frac{1}{1 + \frac{\pi^2 I_0}{2.4a L^2 \sin^2 \theta \cos \theta}} \\ &= \frac{\pi^2 EI_0}{L^2} \cdot \frac{1}{1 + \frac{A_f}{A_a} \cdot \frac{\pi^2}{s^2 \sin^2 \theta \cos \theta}} \end{aligned} \quad \dots \dots \dots \quad (88)$$

之に對して不安定なる撓屈を起さない爲の條件は

$$\frac{1}{A_f}(A_h + 2.4a \sin^3 \theta) \geq \frac{6\pi^2 \cos \theta}{s^2 \sin \theta} \quad \dots \dots \dots \quad (50)$$

であつた。(50) 式を (88) 式に代入すれば

$$P_{cr} \geq \frac{\pi^2 EI_0}{L^2} \cdot \frac{1}{1 + \frac{1}{3} \tan^2 \theta + \frac{A_h}{6.4a \sin \theta \cos^2 \theta}} \quad \dots \dots \dots \quad (89)$$

となる。

e) 第5種骨組

此の種の骨組の限界荷重に對する式は (88) 式と全く同じである。不安定なる撓屈を起さない爲の條件は (50) 式に於て $A_h = 0$ と置けば得られる。此の條件を考慮した限界荷重の式は (89) 式に於て同様に $A_h = 0$ と置けば良い。之は (84) 式と全く同じである。

以上は四角柱の一側面を取つて考へたのであるから、四角柱全體を考へる時は限界荷重は本節に於ける P_{cr} の 2 倍となる。或は又 I_0 として柱全體の慣性モーメントを取れば (88) 式、(85) 式、(88) 式は其儘四角柱の限界荷重を與へる式となる。

圖-44.



(ii) 對角線の方向に撓屈する場合

断面が正四邊形をなし部材の配置が全く對稱的である四角柱の對角線の方向の撓屈を考へる。此の場合は四角柱全體を考へるのであるから此の點前節と區別しなければならない。

a) 第1種骨組

$$\tau = \frac{Q}{\sqrt{2}h}$$

組合壓縮材が剪断力 Q のみを受けてゐる状態は部分的に置換すれば 図-45 に於ける如く縁維弦材に

$$\tau = \frac{Q}{\sqrt{2}h}$$

なる剪断力が作用してゐるものと考へる事が出来る。此の剪断力は 2 つの骨組側面で支持されるのであるから骨組の一側面を取つて考へれば 図-46 の如く力がかかるものと見做す事が出来る。此れは 図-39 の場合と相似であるから骨組の面の剪断歪度 ϵ' は次の如く表はされる。

$$\begin{aligned}\epsilon' &= \frac{\tau h}{2EA_a \sin^2 \theta \cos \theta} = \frac{Q}{2\sqrt{2}EA_a \sin^2 \theta \cos \theta} \\ &= \frac{P}{2\sqrt{2}EA_a \sin^2 \theta \cos \theta} \cdot \frac{dy}{dx}\end{aligned}$$

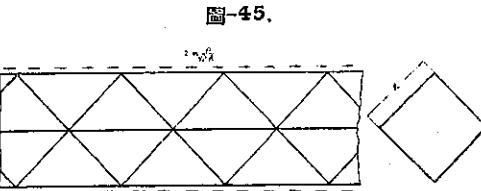
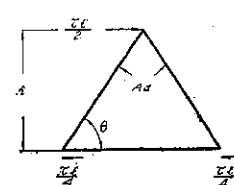


図-45.

圧縮材全體としての剪断歪度を ϵ とすれば

$$\epsilon = \frac{\epsilon'}{\cos \frac{\pi}{4}} = \sqrt{2}\epsilon'$$



でなければならない。

故に

$$\epsilon = \frac{P}{2EA_a \sin^2 \theta \cos \theta} \cdot \frac{dy}{dx}$$

従つて剪断力の影響を入れた場合の限界荷重は

$$P_{cr} = \frac{P_e}{1 + \frac{P_e}{2EA_a \sin^2 \theta \cos \theta}}$$

となる。兩端鉸支の場合にはオイレルの限界荷重は

$$P_e = \frac{\pi^2 EI_0}{L^2}$$

であるから

$$P_{cr} = \frac{\pi^2 EI_0}{L^2} \cdot \frac{1}{1 + \frac{\pi^2 I_0}{2A_a L^2 \sin^2 \theta \cos \theta}} = \frac{\pi^2 EI_0}{L^2} \cdot \frac{1}{1 + \frac{2\pi^2}{s^2 \sin^2 \theta \cos \theta} \cdot \frac{A_f}{A_a}} \quad (90)$$

となる。但し

$$I_0 = 4A_f \left(\frac{h}{2}\right)^2, \quad \frac{2L}{h} = s$$

である。(90) 式を骨組の平面内で撓屈する場合の (83) 式に比較すれば、四角柱に於ては骨組の平面内で撓屈する場合も對角線の方向に撓屈する場合も限界荷重には變りがない事が解る。

第1種骨組を有する組合せ四角柱が對角線の方向に不安定な撓屈を起さない爲の條件は

$$\frac{I_0}{L_0} \geq \frac{\pi^2 \cos \theta}{2s^2 \sin^4 \theta} \quad (53)$$

であつた。之を断面積に對する式に書き改めれば

$$\frac{A_a}{A_f} \geq \frac{\pi^2 s_d^2 \cos \theta}{2s^2 \sin^4 \theta} \quad (53')$$

となる。但し sa は綾片の細長比である。此の條件は式より明らかなる如く著るしく強大な綾片を要求するものであつて實際の場合満足され相にない。之は又一方より考へれば四角柱が對角線の方向の挫屈に對して非常に弱い事を示すものである。

(53') 式の条件を (90) 式に代入すれば

を得る。此れは骨組の平面内で挫屈する場合の(84)式に相當する式である。

対角線の方向に挫屈する場合の第2~5種骨組の四角柱の限界荷重も第1種骨組に於けると同様、骨組面の方向に挫屈する場合の限界荷重と相等しい。即ち第2種骨組に対する限界荷重に對しては(85)式を、第3種骨組に對しては(83)式を、第4種及び第5種骨組に對しては(88)式を其儘使用する事が出来る。対角線の方向に不安定なる挫屈を起さざる爲の條件は第2種以下の骨組の場合に於ても既に求められた。之等の條件を限界荷重の式に入れれば夫々の骨組に應する式の如き形の式が得られるであらう。

3. 剪断力の影響を考慮した場合の組合せ三角柱の限界荷重

三脚柱の挫屈にも 2 つの特性的方向が考へられる。図-47 を其の断面正三角形と考へれば、 x 軸の方向に挫屈する場合（一側面の方向に挫屈する場合）と y 軸の方向に挫屈する場合（一側面に直角の方向に挫屈する場合）である。

(i) 一側面の方向に挫屈する場合

三角柱が図-47 に於ける BC の方向に挫屈する場合の剪断力の影響に就て先づ計算する。此の場合縁維弦材は B と C の位置に在り其の間の剪断力の傳達には BC-BAC の 2 つの経路がある。此の 2 つの経路を通つて傳達される剪断應力度を夫々 τ_1, τ_2 とする。但し τ_1, τ_2 は次の關係式を満足しなければならない。

但し Q は圧縮材の或る點に於ける剪断力であつて (79) 式に依り軸荷重と結び付けられてゐる。先づ r_1 と r_2 が如何なる割合になつてゐるかを求めなければならぬ。先づ第 1 種骨組に就て計算すれば次の如くである。

第 1 種骨組に於て BC の骨組面を考へれば 図-39 に於ける τ を τ_1 に置き換へれば良い。BC 面に於ける剪断歪度を ϵ とすれば此れは BC の方向に挫屈する場合の三角柱の剪断歪度であつて、

$$\varepsilon = \frac{\tau_1 h}{EA_d \sin^2 \theta \cos \theta}$$

となる。次に BA 面 (ΔO 面に就ても同様) を考へその骨組面の剪断歪度を ε' となれば同様に

$$\varepsilon' = \frac{\tau_2 h}{EA_d \sin^2 \theta \cos \theta}$$

を得る。

ϵ と ϵ' の間には次の関係が存在する。

$$\varepsilon' = \varepsilon \cos \frac{\theta}{\cos \theta} = \frac{3}{2}$$

(92), (93) 両式より

$$\tau_1 = \frac{2Q}{3h} \quad \tau_2 = \frac{Q}{3h}$$

従つて三角柱の剪断歪度は次の如く表はされる。

$$\epsilon = \frac{2Q}{3EA_a \sin^2 \theta \cos \theta} = \frac{2P}{3EA_a \sin^2 \theta \cos \theta} \cdot \frac{dy}{dx}$$

以上より剪断力の影響を考慮に入れた場合の限界荷重は次の如くなる。

$$P_{cr} = \frac{P_c}{1 + \frac{2P_c}{3EA_a \sin^2 \theta \cos \theta}} \quad \dots \dots \dots \quad (94)$$

両端絞支持の場合

$$P_c = \frac{\pi^2 EI_0}{L^2}, \quad I_0 = \frac{A_f h^2}{2}$$

である。之等の関係式を (94) 式に代入すれば

$$P_{cr} = \frac{\pi^2 EI_0}{L^2} \cdot \frac{1}{1 + \frac{2\pi^2}{s^2 \sin^2 \theta \cos \theta} \cdot \frac{A_f}{A_a}} \quad \dots \dots \dots \quad (95)$$

を得る。但し細長比 s は $s = \frac{\sqrt{6}L}{h}$ である。(95) 式は形に於て (83) 式或は (90) 式と全然同一である。第 2 種以下の骨組に對しても四角柱の場合と全然同形である事が豫想されたので第 2 種以下の骨組に對する計算は省略する。第 1 種骨組の三角柱が不安定なる挫屈を起さざる爲の條件は

$$\frac{A_a}{A_f} \geq \frac{9\pi^2 \cos \theta}{s^2 \sin^4 \theta} \quad \dots \dots \dots \quad (58)$$

であつた。此の條件式を (95) 式に代入すれば次式を得る。

$$P_{cr} \geq \frac{\pi^2 EI_0}{L^2} \cdot \frac{1}{1 + \frac{2}{9} \tan^2 \theta} \quad \dots \dots \dots \quad (96)$$

(96) 式を (84) 式と比較すれば、不安定なる挫屈を起さざる爲の條件は三角柱の方が四角柱（骨組の面内で挫屈する場合）より過重なだけ限界荷重の低下率は三角柱の方が小さい。

第 2 種以下の骨組の組合せ三角柱に對しても同様に剪断力の影響を考慮に入れて x 軸の方向の挫屈に對する限界荷重を求むる事が出来る。之等を形に於て既に求めた四角柱の限界荷重の式と同一である。即ち第 2 種骨組に對しては (85) 式を、第 3 種骨組に對しては (83) 式或は (95) 式を、第 4 種、第 5 種骨組に對しては (89) 式を其儘使用する事が出来る。四角柱と三角柱の場合に於ける細長比の相異は既に式中に於て考慮されてゐる。

第 2~5 種骨組の三角柱が不安定なる挫屈を起さざる爲の條件は夫々第 3 篇 (59), (60), (61), (62) 式で表はされた。之等の條件式をその對應する限界荷重の式に代入すれば各骨組に對して (96) 式と同様な式が導かれる。

(ii) 一側面に直角の方向に挫屈する場合

圖-47 に於て y 軸の方向に挫屈する場合の剪断力の影響に就て計算する。此の場合縁維弦材は A 及び B, C であつて其の間の剪断力の傳達は AB, AC の 2 つの骨組面に依つて同等に傳へられる。第 1 種骨組に就て AB 面 (AC 面に就ても同じ) を取つて考へれば 圖-39 に於て τ を $\tau/2$ に置き換へれば良い。但し此の場合の τ は次式に依つて與へられる。

$$\tau = \frac{2Q}{\sqrt{3h}}$$

Q は (79) 式に依つて軸荷重と結び付けられる。骨組面の剪断歪度を ϵ' とすれば ϵ' は次式で表はされる。

$$\epsilon' = \frac{Q}{\sqrt{3EA_a \sin^2 \theta \cos \theta}}$$

之を y 軸の方向の剪断歪度 ϵ に換算すれば

$$\epsilon = \frac{\epsilon'}{\cos \frac{\pi}{6}} = \frac{2Q}{3EA_a \sin^2 \theta \cos \theta} = \frac{2P}{3EA_a \sin^2 \theta \cos \theta} \cdot \frac{dy}{dx}$$

となる。此の式は x 軸の方向に挫屈する場合と全然同じである。従つて限界荷重も x 軸の方向に挫屈する場合

の(94)或は(95)式と全然同じとなる。

y 軸の方向の撓屈に對して、撓屈を不安定ならしめる條件は x 軸の方向の撓屈の場合と同様である。第1種骨組に對しては(58)式の條件式が成立する。此の條件式を限界荷重の式に入れれば同様に(96)式を得る。

三角柱の場合に於ては x 軸の方向の撓屈に於ても y 軸の方向の撓屈に於ても限界荷重、安定條件共に同一である事が解る。第2種以下の骨組に就て一々計算する必要はないであらう。

4. 約

第4篇に於ては剪断力の影響を考慮に入れて組合せ圧縮材の撓屈現象を解析した。その結果は次の2項目に要約される。

(1) 組合せ圧縮材の限界荷重は所謂オイレルの限界荷重より低下する。

中實圧縮材に於ては此の低下は殆ど問題にならぬ程度であるが組合せ圧縮材に於ては強材の断面積に比較して綾片の断面積が非常に小である爲に兩弦材間の剪断力の傳達に於て中實圧縮材に於けるより遙かに大なる剪断歪度を示し、此の爲に限界荷重は非常に大なる影響を蒙り、曲げモーメントのみに着目した場合の限界荷重即ちオイレルの限界荷重より著しく低下する。剪断力の影響を考慮した場合の限界荷重が正しい限界荷重を與へるであらう。

(2) 中空圧縮材としての安定の問題に對しては剪断力の影響を考慮すると否とは何等の關聯をも有しない。即ち限界荷重と安定度の問題とは全然別個の問題である。

5. 第3篇及び第4篇の總括

組合せ四角柱と組合せ三角柱の限界荷重と安定條件とを總括すれば表-6に示す如くである。

表-6 (a) 組合せ四角

| | 限界荷重 | 不安定なる撓屈を起さざる爲の條件 | |
|-------|---|--|--|
| | | 骨組の平面内で撓屈する場合 | 対角線の方向に撓屈する場合 |
| 第1種骨組 | $\frac{\pi^2 EI_0}{L^2} \cdot \frac{1}{1 + \frac{2\pi^2}{s^2 \sin^2 \theta} \cos \theta} \cdot \frac{A_f}{A_d}$ | $\frac{A_d}{A_f} \geq \frac{6\pi^2 \cos \theta}{s^2 \sin^4 \theta}$ | $\frac{A_d}{A_f} \geq \frac{\pi^2 s_d^2 \cos \theta}{2s^2 \sin^2 \theta}$ |
| 第2種骨組 | $\frac{\pi^2 EI_0}{L^2} \cdot \frac{1}{1 + \frac{\pi^2 s_h^2 \cos \theta}{6s^2 \sin \theta} \cdot \frac{A_f}{A_h} + \frac{\pi^2 s_d^2}{12s^2}} \cdot \frac{A_h}{A_d}$ | $\frac{A_h}{A_f} \geq \frac{6\pi^2 \cos \theta}{s^2 \sin \theta}$ | $\frac{A_h}{A_f} \geq \frac{\pi^2 s_h^2 \cos \theta}{2s^2 \sin \theta}$ |
| 第3種骨組 | $\frac{\pi^2 EI_0}{L^2} \cdot \frac{1}{1 + \frac{2\pi^2}{s^2 \sin^2 \theta} \cos \theta} \cdot \frac{A_f}{A_d}$ | $\frac{1}{A_f} (A_h + A_d \sin^3 \theta) \geq \frac{6\pi^2 \cos \theta}{s^2 \sin \theta}$ | $\frac{A_d}{A_f} \left(\frac{A_h}{A_d \sin^2 \theta} + \frac{2 \sin \theta}{s_d^2} \right) \geq \frac{\pi^2 \cos \theta}{2s^2 \sin \theta}$ |
| 第4種骨組 | $\frac{\pi^2 EI_0}{L^2} \cdot \frac{1}{1 + \frac{\pi^2}{s^2 \sin^2 \theta} \cos \theta} \cdot \frac{A_f}{A_d}$ | $\frac{1}{A_f} (A_h + 2A_d \sin^3 \theta) \geq \frac{6\pi^2 \cos \theta}{s^2 \sin \theta}$ | $\frac{A_d}{A_f} \left(\frac{A_h}{A_d \sin^2 \theta} + \frac{2 \sin \theta}{s_d^2} \right) \geq \frac{\pi^2 \cos \theta}{2s^2 \sin \theta}$ |
| 第5種骨組 | $\frac{\pi^2 EI_0}{L^2} \cdot \frac{1}{1 + \frac{\pi^2}{s^2 \sin^2 \theta} \cos \theta} \cdot \frac{A_f}{A_d}$ | $\frac{A_d}{A_f} \geq \frac{3\pi^2 \cos \theta}{s^2 \sin^4 \theta}$ | $\frac{A_d}{A_f} \geq \frac{\pi^2 s_d^2 \cos \theta}{4s^2 \sin \theta}$ |

限界荷重は四角柱に於ても同じ形の式で與へられ、且つ各々2つの特性的方向に對しても變りはない。

安定條件は三角柱に於ては2つの特性的方向に對して相異はないが四角柱に於ては著しい相異がある。

四角柱の限界荷重は何れの方向に對しても理論的には同一であるにも拘らず、實際には対角線の方向に著しく弱いと謂ふ事實は、中空圧縮材の問題は限界荷重だけでは解決出来ず、安定度と謂ふ事が重大な問題となつて來る事を實證してゐるものを見る事が出来る。

以上著者の取扱つた組合せ圧縮材は部材を對稱的に配置した等断面四角柱、三角柱であつて通常電柱等に多く見られる様なものを對象とした。橋梁等の構造物に於ける圧縮材の場合には薄型の強力な弦材を綾片又は綴片で結

表-6 (b). 組合せ三角柱

| | 限界荷重 | 不安定なる挾屈を起さざる爲の條件 |
|-------|---|--|
| 第1種骨組 | $\frac{\pi^2 EI_0}{L^2} \cdot \frac{1}{1 + \frac{2\pi^2}{s^2 \sin^2 \theta \cos \theta} \cdot \frac{A_f}{A_a}}$ | $\frac{A_a}{A_f} \geq \frac{9\pi^2 \cos \theta}{s^2 \sin^4 \theta}$ |
| 第2種骨組 | $\frac{\pi^2 EI_0}{L^2} \cdot \frac{1}{1 + \frac{\pi^2 s_h^2 \cos \theta}{6s^2 \sin \theta} \cdot \frac{A_f}{A_h} + \frac{\pi^2 s_f^2}{12s^2}}$ | $\frac{A_h}{A_f} \geq \frac{9\pi^2 \cos \theta}{s^2 \sin \theta}$ |
| 第3種骨組 | $\frac{\pi^2 EI_0}{L^2} \cdot \frac{1}{1 + \frac{2\pi^2}{s^2 \sin^2 \theta \cos \theta} \cdot \frac{A_f}{A_a}}$ | $\frac{1}{A_f} (A_h + A_a \sin^3 \theta) \geq \frac{9\pi^2 \cos \theta}{s^2 \sin \theta}$ |
| 第4種骨組 | $\frac{\pi^2 EI_0}{L^2} \cdot \frac{1}{1 + \frac{\pi^2}{s^2 \sin^2 \theta \cos \theta} \cdot \frac{A_f}{A_a}}$ | $\frac{1}{A_f} (A_h + 2A_a \sin^3 \theta) \geq \frac{9\pi^2 \cos \theta}{s^2 \sin \theta}$ |
| 第5種骨組 | $\frac{\pi^2 EI_0}{L^2} \cdot \frac{1}{1 + \frac{\pi^2}{s^2 \sin^2 \theta \cos \theta} \cdot \frac{A_f}{A_a}}$ | $\frac{A_a}{A_f} \geq \frac{9\pi^2 \cos \theta}{2s^2 \sin^4 \theta}$ |

合するものが通常であるが、此の場合に對しては四角柱が“一側面の方向に挾屈する場合”の式を適用すれば良い。

剪断力の影響を考慮した場合の管柱の限界荷重は中實壓縮材の場合に準じて

$$P_{cr} = \frac{P_c}{1 + \frac{r P_c}{2\pi r_0 G}}$$

として良いであらう。管柱の場合には組合せ壓縮材と異つて剪断力の傳達に對して充分な材料を有してゐるので剪断力の影響を考慮に入れても限界荷重は所謂オイレルの限界荷重より大して低下しないであらう事が常識的にも豫期される。

之に對して管柱が不安定なる挾屈を起さざる爲の條件は

$$\frac{t^2}{r_0^2} \geq \frac{1}{2} \left\{ \sqrt{16 + 30\pi^2 \left(\frac{r_0}{L} \right)^2 + \frac{9\pi^4}{16} \left(\frac{r_0}{L} \right)^4} - 4 + \frac{3\pi^2}{4} \left(\frac{r_0}{L} \right)^2 \right\}$$

r_0/L 小なる時は略

$$\frac{t}{r_0} \geq \frac{3\pi}{2} \left(\frac{r_0}{L} \right) \left\{ 1 - \frac{3\pi^2}{16} \left(\frac{r_0}{L} \right)^2 \right\}$$

である。

剪断力の影響は結局組合せ壓縮材に就て重要視せらるべきものであつて、中空壓縮材全般に關する問題ではないと言ふ事が出来る。